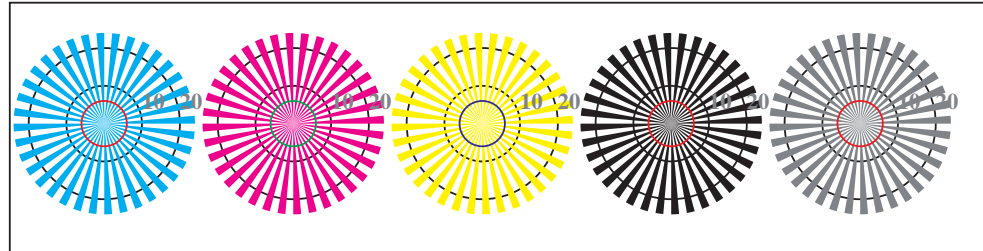
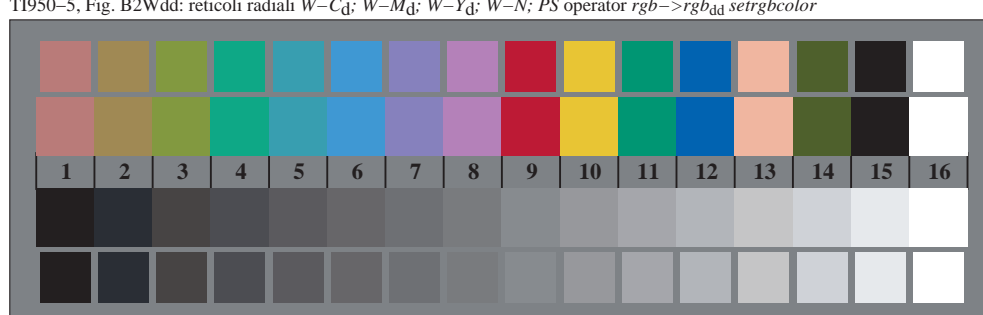




TI1950-3, Fig. B1Wdd: motivo floreale, 14 prova colori CIE i 2 + 16 grigio passi (sf); PS operator 4 colorimage

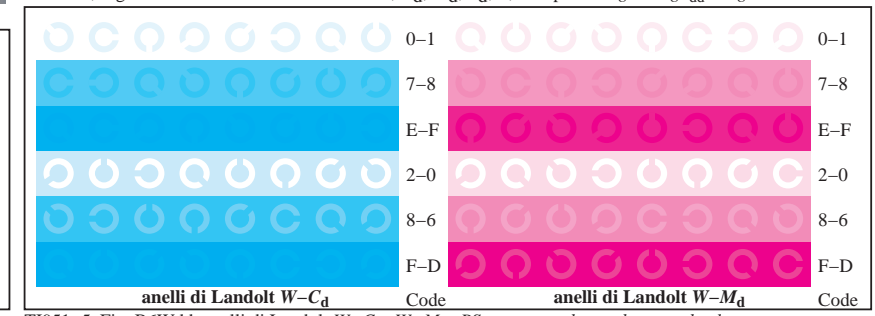


reticolli radiali $W-C_d$ reticolli radiali $W-M_d$ reticolli radiali $W-Y_d$ reticolli radiali $W-N$ reticolli radiali $W-Z$

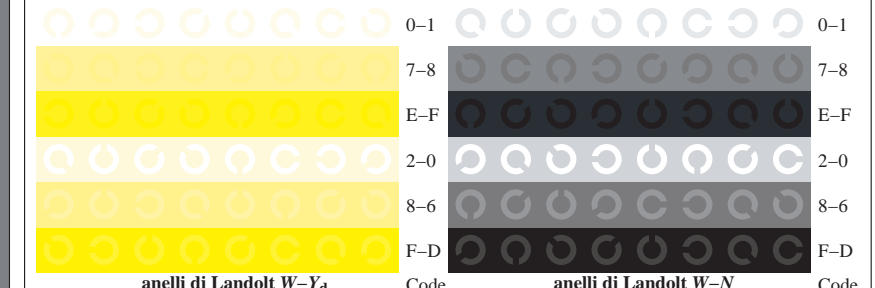


TI950-7, Fig. B3Wdd: 14 prova colori CIE i 2 + 16 grigio passi (sf); $rgb/cm\gamma 0 \rightarrow rgb_{dd}$ setrgbcolor

TI951-3, Fig. B5Wdd: codice i Landolt anelli N ; C_d ; M_d ; Y_d ; Z ; PS operator $rgb \rightarrow rgb_{dd}$ setrgbcolor



T1951-5, Fig. B6Wdd: anelli di Landolt $W-C_d$; $W-M_d$; PS operator $rgb \rightarrow rgb_{dd}$ setrgbcolor



TI951-7, Fig. B7Wdd: anelli di Landolt W-Y_d; W-N; PS operator $rgb \rightarrow rgb_{dd}$ setrgbcolor